

基于GA优化的T-S模型倒立摆控制

卫亚文

摘要 小车倒立摆系统是开展各种控制实验的理想平台。本文对小车倒立摆系统的控制分为三部分：第一部分是小车倒立摆系统的动力学方程推导，第二部分是小车倒立摆系统的T-S型模糊控制器设计，第三部分使用GA算法对T-S模糊控制器中的隶属度函数的中心点和宽度进行全局优化，改善控制效果。

关键词 倒立摆，T-S模型，GA

1 小车倒立摆系统数学模型

小车倒立摆系统如图1.1所示，为简化模型，这里假设杆无质量，摆的质量集中于杆的顶端。并假设小车可不受约束地在x方向自由运动。

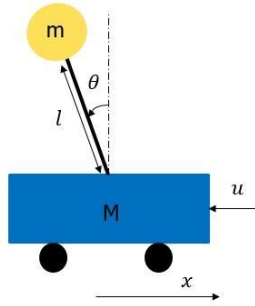


图 1.1 小车倒立摆系统示意图

则Lagrange函数为

$$\begin{aligned} L &= T - V \\ &= \frac{1}{2}Mv_1^2 + \frac{1}{2}mv_2^2 - mgl\cos\theta \\ &= \frac{1}{2}(M+m)\dot{x}^2 - ml\dot{x}\dot{\theta}\cos\theta + \frac{1}{2}ml^2\dot{\theta}^2 \\ &\quad - mgl\cos\theta \end{aligned}$$

代入第二类Lagrange方程

$$\begin{aligned} \frac{d}{dt}\left(\frac{dL}{d\dot{x}}\right) - \frac{dL}{dx} &= -u \\ \frac{d}{dt}\left(\frac{dL}{d\dot{\theta}}\right) - \frac{dL}{d\theta} &= 0 \end{aligned}$$

令 $a = \frac{1}{m+M}$ ，并消去 \ddot{x} 解得：

收稿日期 XXXX-XX-XX 收修改稿日期 XXXX-XX-XX
Received Month Date, Year; in revised form Month Date, Year
国家自然科学基金(XXXXXXX)资助(不同基金项目间用“,”分隔)

1. 中国空间技术研究院 北京 100094

$$\ddot{\theta} = \frac{g\sin\theta - aml\dot{\theta}^2\sin(2\theta)/2 - aucos\theta}{l - aml\cos^2\theta}$$

降阶：可得倒摆的动力学方程为

$$\begin{aligned} \dot{x}_1 &= x_2 \\ \dot{x}_2 &= \frac{g\sin x_1 - amlx_2^2\sin(2x_1)/2 - aucosx_1}{l - aml\cos^2x_1} \end{aligned}$$

式中 x_1 表示摆杆与垂直线的夹角， x_2 表示角速度。 $g = 9.8\text{m/s}^2$ ，小车质量 $M = 2\text{kg}$ ，摆的质量 $m = 0.1\text{kg}$ ， $l = 0.5\text{m}$

2 T-S型模糊控制器设计

将输入变量 (x_1, x_2) 进行5级模糊分割，相应语言变量E取值为 $\{NL, NS, ZO, PS, PL\}$ ，其隶属度函数如图2.1所示。

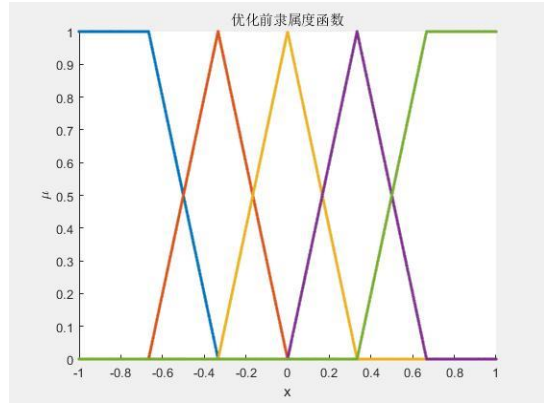


图 2.1 GA前的隶属度函数

通过第一部分中推导的状态方程 (\dot{x}_1, \dot{x}_2) ，建立T-S模型的25条模糊规则：

Rule(i, j): if x_1 是 E_i 中心附近 and x_2 是 E_j 中心附近 then

$$\dot{x} = A(i, j)x + B(i, j)u \quad i, j = 1, 2, \dots, 5$$

令状态方程 (\dot{x}_1, \dot{x}_2) 为F，其中

$$A(i, j) = \frac{\partial \mathbf{F}}{\partial \mathbf{x}} = \begin{bmatrix} \frac{\partial \dot{x}_1}{\partial x_1} & \frac{\partial \dot{x}_1}{\partial x_2} \\ \frac{\partial \dot{x}_2}{\partial x_1} & \frac{\partial \dot{x}_2}{\partial x_2} \end{bmatrix}$$

$$B(i, j) = \begin{bmatrix} 0 \\ -a \cos x_1 \\ l - a m l \cos^2 x_1 \end{bmatrix}$$

其中 $x_1 = E_i$ 中心, $x_2 = E_j$ 中心。可见模糊规则的本质在于对非线性状态方程进行局部线性化。

每个局部线性模型的期望闭环极点都设置为 $(-4 \pm 5.457j)$, 按照极点配置设计方法求得每个子系统的局部反馈增益矩阵 $L(i, j)$ 。

所以总的控制规律为:

$$u(t) = -\sum_i^5 \sum_j^5 \bar{\alpha}_{ij} L(i, j) \mathbf{x}$$

其中 $\bar{\alpha}_{ij}$ 为 $\text{Rule}(i, j)$ 归一化后的隶属度。

由于初始条件为 $\theta(0) = 0.1 \text{ rad}$, $\dot{\theta}(0) = 0$ 。因此对倒立摆系统进行仿真时, 使用 x_1 是 0 附近 and x_2 是 0 附近的线性化方程更新 \mathbf{x} , 即

$$\mathbf{x}_{\text{new}} = \mathbf{x}_{\text{old}} + (A(3,3)\mathbf{x} + B(3,3)u)T_s$$

其中 T_s 为时间步。

3 基于 GA 优化的 T-S 模糊控制器

取 5 个设计变量, 分别是: PS 的中心 x 轴坐标 $GA.x(1)$ 、PL 的中心 x 轴坐标 $GA.x(2)$ 、ZO 半个宽度 $GA.x(3)$ 、PS 半个宽度 $GA.x(4)$ 、PL 半个宽度 $GA.x(5)$ 。ZO 的中心 x 轴坐标固定为 0, NL, NS 的中心 x 轴坐标和宽度与 PS, PL 关于 x 轴对称。

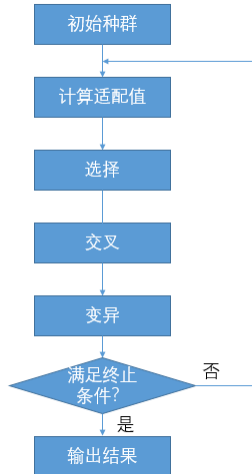


图 3.1 GA 算法基本流程图

二进制字符串长度 $m=30$, 种群数量 $\text{num_part}=50$, 交叉概率取 0.5, 变异概率取

0.001。迭代搜索的终止条件为平均适配值变化 $< 1e-8$, 或者最大迭代次数超过 500。

GA 算法的基本流程如图 3.1 所示

4 仿真及优化结果

给定初始条件 $\theta(0) = 0.1 \text{ rad}$, $\dot{\theta}(0) = 0$ 。优化目标为 θ 响应曲线的超调量 M_p 和调节时间 t_s 的归一化加权和。即:

$$f = 0.5 \frac{M_p}{M_p^*} + 0.5 \frac{t_s}{t_s^*}$$

如此可以保持超调量 M_p 和调节时间 t_s 数量级相当。

经过优化的隶属度函数图像如图 4.1 所示,

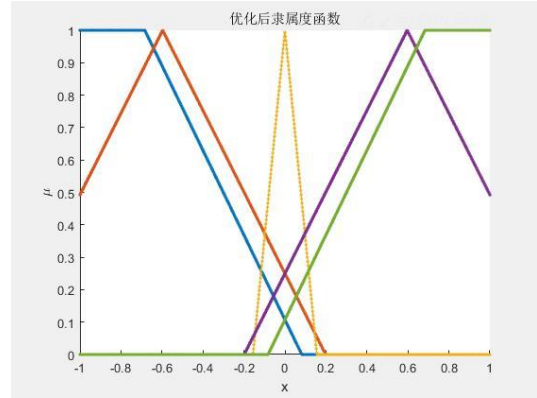


图 4.1 GA 优化后的隶属度函数

GA 算法经过 20 次迭代, 达到了搜索终止条件, 优化前后角度 θ 响应曲线如图 4.2 所示, 红色曲线表示用图 2.1 所示的隶属度函数计算的响应。蓝色曲线表示用经过 GA 算法优化后的图 4.1 所示的隶属度函数计算的响应。

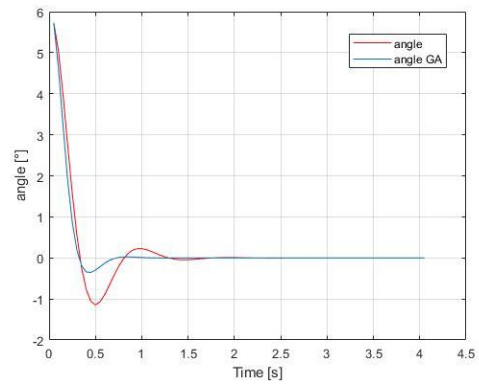


图 4.2 GA 优化前后的角度响应对比

如表 1 所示, 优化后的摆角 θ 响应曲线的超调量 M_p 和调节时间 t_s 都明显小于优化前的值。

表 1 优化前后控制指标对比			
	M_p	t_s	目标函数
初始	0.02	1.45	0.5620
GA 优化	0.0062	1.2500	0.1749

GA 优化前后角速度 $\dot{\theta}$ 响应曲线如图 4.3 所示

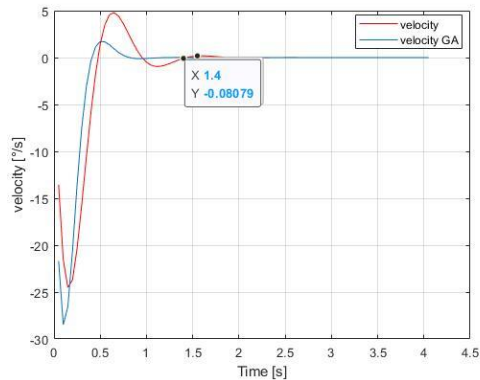


图 4.3 GA 优化前后的角速度响应对比

GA 优化前后控制力 u 响应曲线如图 4.4 所示

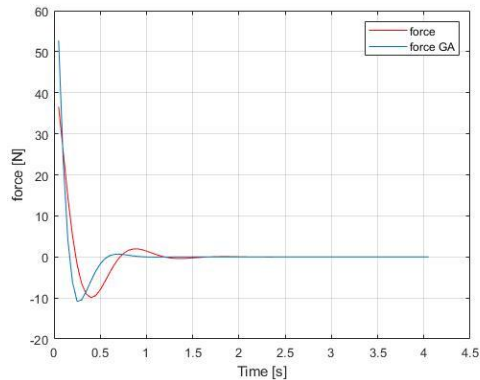


图 4.4 GA 优化前后的控制力响应对比

图 4.4 和图 4.5 分别是 GA 算法平均适配值优化曲线和最优个体适配值优化曲线。可以看到, GA 算法在优化 T-S 模糊控制器方面收敛速度和收敛稳定性都表现良好。经过 GA

算法对隶属度函数的中心点和宽度进行全局优化后的 T-S 模糊控制器, 其控制效果明显得到了改善。

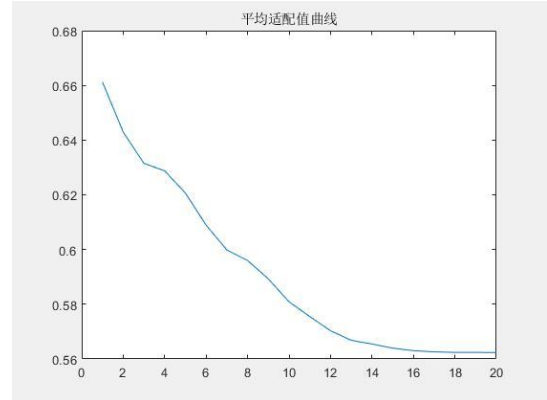


图 4.4 GA 最优个体适配值优化曲线

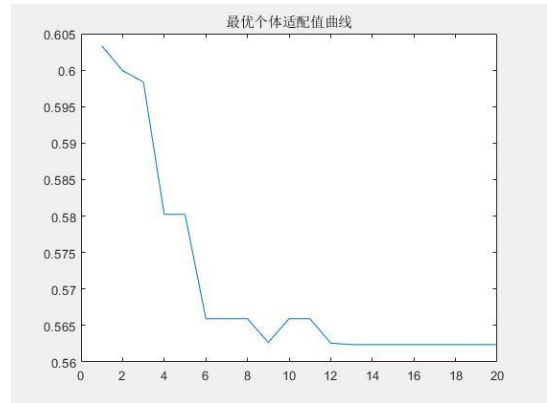


图 4.5 GA 最优个体适配值优化曲线

5 结论

本文首先假设摆杆无质量, 摆的质量集中于杆的顶端, 推导了小车倒立摆系统的动力学方程。其次设计了对应的 T-S 模糊控制器, 仿真结果表明本文设计小车倒立摆系统的 T-S 模糊控制器表现良好。最后使用 GA 算法对 T-S 模型控制器的隶属度函数的中心点和宽度进行了全局优化, 经过优化后的隶属度函数显著改善了控制效果。

References

1. 孙增圻, 邓志东, 张再兴. 智能控制理论与技术[M]. 清华大学出版社, 2011.